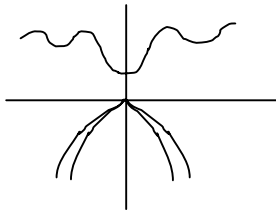


半導体の有効質量

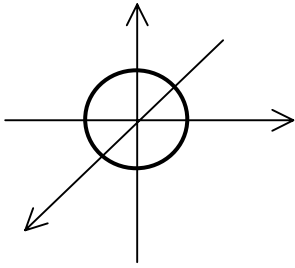


直接遷移型半導体の電子の有効質量

k_x, k_y, k_z 全ての方向に同じ有効質量

等エネルギー面は k 空間で Γ 点 (原点) を中心に

球状
$$E - E_c = \frac{\hbar^2 (k_x^2 + k_y^2 + k_z^2)}{2m_e^*}$$

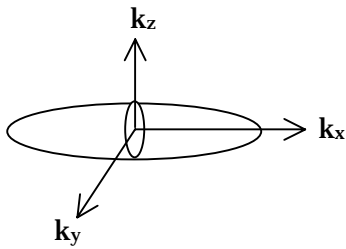


間接遷移型半導体の有効質量

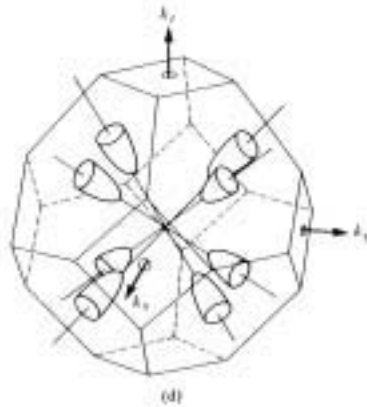
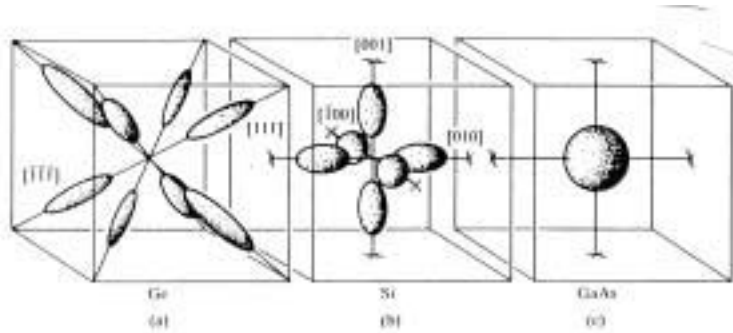
Si, Ge の場合

$$E - E_c = \frac{\hbar^2}{2m_\ell^*} k_x^2 + \frac{\hbar^2}{2m_t^*} (k_y^2 + k_z^2)$$

$$\frac{k_x^2}{\alpha^2} + \frac{k_y^2 + k_z^2}{\beta^2} = 1$$



$$\alpha = \sqrt{\frac{2m_\ell^* (E - E_c)}{\hbar^2}} \quad \beta = \sqrt{\frac{2m_t^* (E - E_c)}{\hbar^2}}$$



$$N_{el} \left(\frac{4}{3} \pi \alpha \beta^2 \right) = \frac{4}{3} \pi k_{eff}^3 \Rightarrow N_{el}(m_l^* m_t^{*2}) = (m_e^*)^2$$

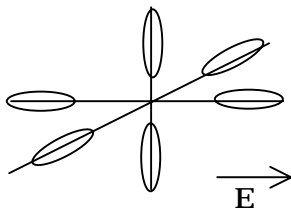


ブリリュアンゾーン中の
葉巻の数 **Si** で6、**Ge** で4

$$\begin{cases} m_e^* = 6^{\frac{2}{3}} (m_l^* m_t^{*2})^{\frac{1}{3}} & \text{が Si} \\ m_e^* = 4^{\frac{2}{3}} (m_l^* m_t^{*2})^{\frac{1}{3}} & \text{が Ge} \end{cases}$$

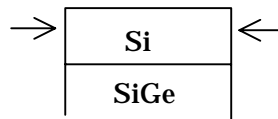
→ 電子の状態密度有効質量 m_{de}^* (状態の数)

電子の電気伝導度有効質量 m_{ce}^* は間接遷移では異方的

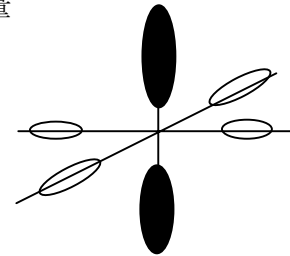


$$\frac{1}{m_{ce}^*} \equiv \frac{1}{3m_l^*} + \frac{2}{3m_t^*}$$

4つの軽い質量と2つの重い質量



等エネルギー面を
変化させて m^* を
かえて移動度をあげる



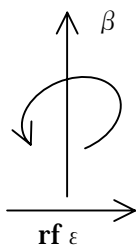
正孔の有効質量 m_h^*

$$g_V(E) = \frac{\sqrt{2} m_h^{*3/2} (E_V - E)^{1/2}}{\pi^3 \hbar^3} = \frac{\sqrt{2} m_{hh}^{*3/2} (E_V - E)^{1/2}}{\pi^3 \hbar^3} + \frac{\sqrt{2} m_{lh}^{*3/2} (E_V - E)^{1/2}}{\pi^3 \hbar^3}$$

よって $(m_h^*)^2 = (m_{hh}^*)^2 + (m_{lh}^*)^2$

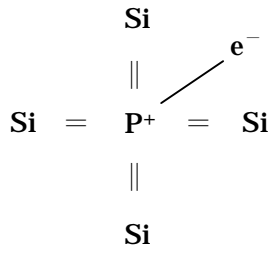
$$m_h^* = \left[(m_{hh}^*)^2 + (m_{lh}^*)^2 \right]^{1/2}$$

有効質量の測定法 サイクロトロン共鳴

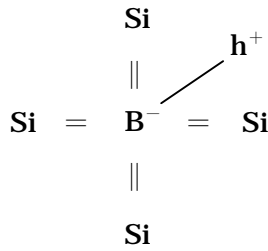
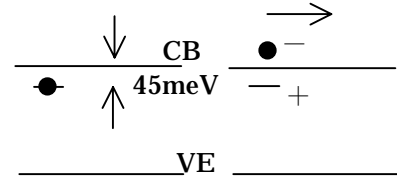


有効質量	Ge	Si	GaAs
m_l^* / m_0	1.588	0.19163	—
m_t^* / m_0	0.08152	0.1905	—
m_e^* / m_0	—	—	0.067
m_{hh}^* / m_0	0.347	0.537	0.51
m_{lh}^* / m_0	0.0429	0.153	0.082
m_{so}^* / m_0	0.077	0.234	0.154

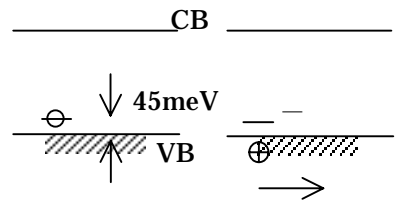
不純物半導体



結合エネルギー (イオン化エネルギー)
 $45\text{meV} \ll E_g = 1.1\text{eV}$
 n型不純物
 ドナー不純物



イオン化エネルギー
 $45\text{meV} \ll E_g = 1.1\text{eV}$
 P型不純物
 アクセプタ不純物



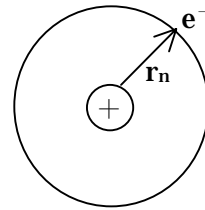
GaAs 中の C は?

- ・ ボーア原子 (浅い不純物)

$$\text{角運動量} = m^* v r_n = n\hbar \dots \dots \textcircled{1}$$

SI 単位系で $\frac{m^* v^2}{r_n} = \frac{e^2}{4\pi\epsilon\epsilon_0 r_n^2} \dots \dots \textcircled{2}$

$\hookrightarrow 8.85 \times 10^{-12}$



①-②より $r_n = \frac{4\pi\epsilon\epsilon_0 (n\hbar)^2}{m^* e^2} \dots \dots n=1$ ボーア半径

$\dots \dots \textcircled{3}$

Ge	$r_1 \sim 8\text{nm}$
Si	$r_1 \sim 3\text{nm}$
GaAs	$r_1 \sim 12\text{nm}$

電子の運動エネルギー(E_k)とポテンシャルエネルギー(U)は

$$E_k = \frac{1}{2} m^* v^2 = \frac{1}{2} \left(\frac{e^2}{4\pi\epsilon\epsilon_0 r_n} \right)$$

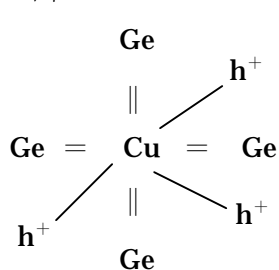
$$U = -\frac{e^2}{4\pi\epsilon\epsilon_0 r_n} \quad (r = \infty \text{ で } U = 0)$$

よって、 $E_n = E_k + U = -\frac{1}{2} \left(\frac{e^2}{4\pi\epsilon\epsilon_0 r_n} \right) \dots \dots \textcircled{4}$

③→④ $E_n = -\frac{m^* e^4}{2(4\pi\epsilon\epsilon_0 n\hbar)^2} = \frac{13.6 m^*}{\epsilon^2 m_0} \text{ (eV)}$

大体の半導体で $\epsilon \sim 10 \quad m^* \leq m_0 \Rightarrow E_n \leq 0.1\text{eV}$

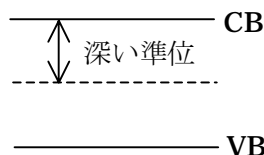
深い準位



- Cu^0 (中性の **Cu**) は 3 個のホールを有する
- Cu^{-1} は 2 個 //
- Cu^{-2} は 1 個 //
- Cu^{-3} は 0 個 //

イオン化エネルギー : $E^{0/-} < E^{-1/2} < E^{-2/-3} \gg E_1(\text{Ge}) \approx 10\text{meV}$
 33meV 浅い準位

実空間で局在している
 ΔX が小さい

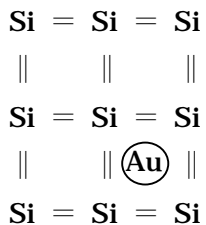
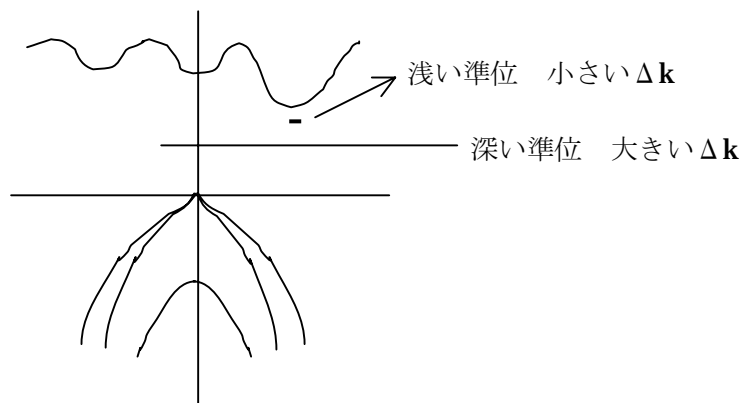


E-k のバンド図では？

$$\Delta p \Delta x \sim \hbar$$

$$\hbar \Delta k \Delta x \sim \hbar$$

$$\Delta k \Delta x \sim 2\pi$$



Au は Si 内の深い準位

$n_i^2 = np$
 \downarrow
 縮退

中性の条件 \rightarrow pn 接合
 $p - n + N_D^+ - N_A^- = 0 \rightarrow$ トランジスター
 \rightarrow ホール効果

SiC の例

フェルミレベルの位置

真性半導体 $n = p \rightarrow N_C e^{(E_F - E_C)/kT} = N_V e^{(E_V - E_F)/kT}$

ここで $E_F = E_i$ とおくと

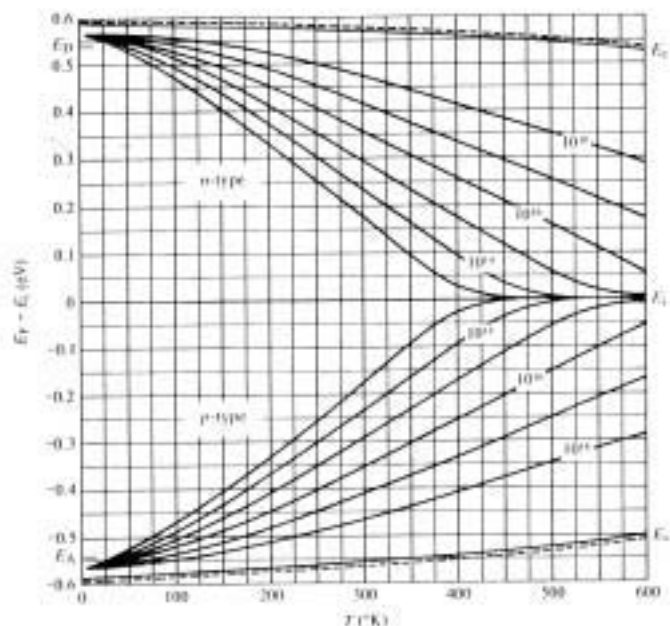
$$E_i = \frac{E_C + E_V}{2} + \frac{kT}{2} \ln\left(\frac{N_V}{N_C}\right) \rightarrow \frac{N_V}{N_C} = \left(\frac{m_h^*}{m_e^*}\right)^{\frac{3}{2}}$$

$$E_i = \frac{E_C + E_V}{2} + \frac{3}{4} kT \ln\left(\frac{m_h^*}{m_e^*}\right)$$

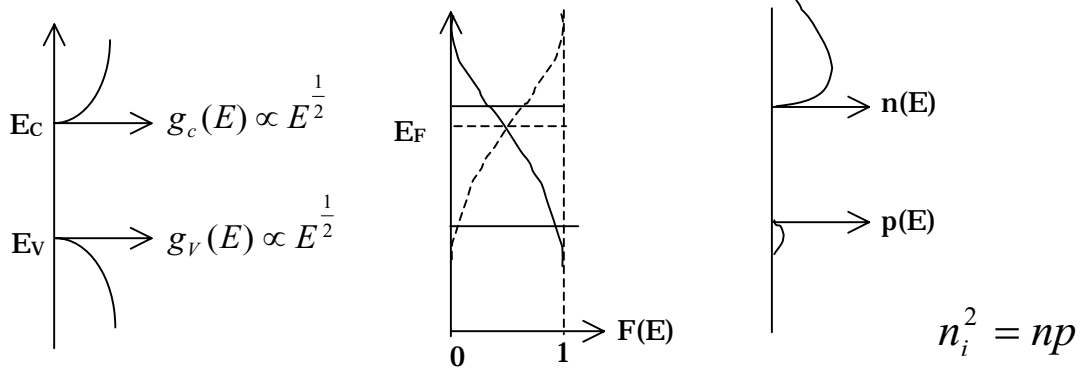
不純物半導体 $kT > E_D, E_A$ (ドナー、アクセプタのイオン化エネルギー)
 $n = N_D$ (ドナー濃度) 又は $p = N_A$ (アクセプタ濃度)

$$E_F - E_i = kT \ln\left(\frac{n}{n_i}\right) = -kT \ln\left(\frac{p}{n_i}\right)$$

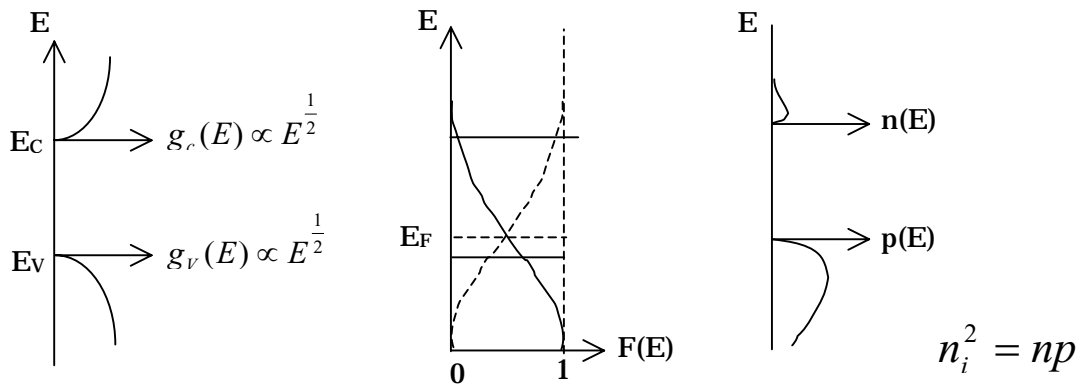
$$\left\{ \begin{array}{l} E_F - E_i = kT \ln\left(\frac{N_D}{n_i}\right), \quad N_D \gg N_A, N_D \gg n_i \\ E_i - E_F = kT \ln\left(\frac{N_A}{n_i}\right), \quad N_A \gg N_D, N_A \gg n_i \end{array} \right.$$



n 型

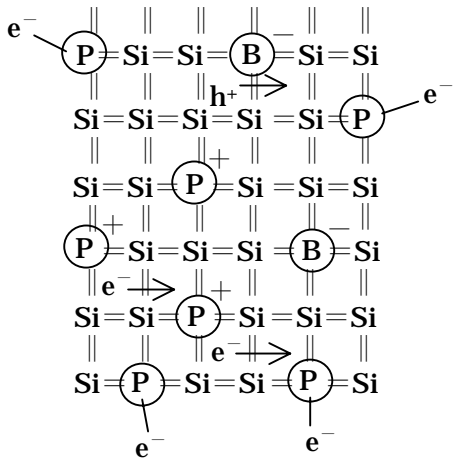


p 型



電荷中性の法則

浅い準位の例で考える



$$N_D = 7$$

$$N_A = 2$$

左の例では $N_D^+ = 3$, $N_A^- = 2$

$$n=2, p=1$$

$$\begin{cases} \text{マイナスの数} & n + N_A^- = 4 \\ \text{プラスの数} & p + N_D^+ = 4 \end{cases}$$

等しくなるので中性

$$p - N + N_D^+ - N_A^- = 0$$

pn 接合

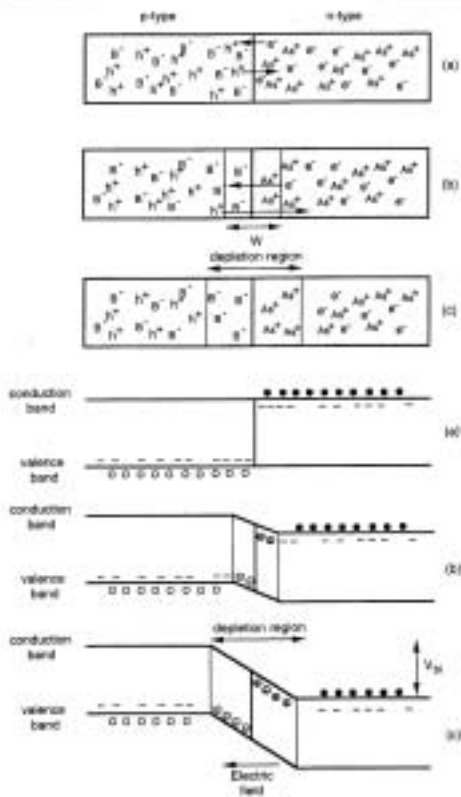


Fig. 2 pn-junctions and their band diagrams

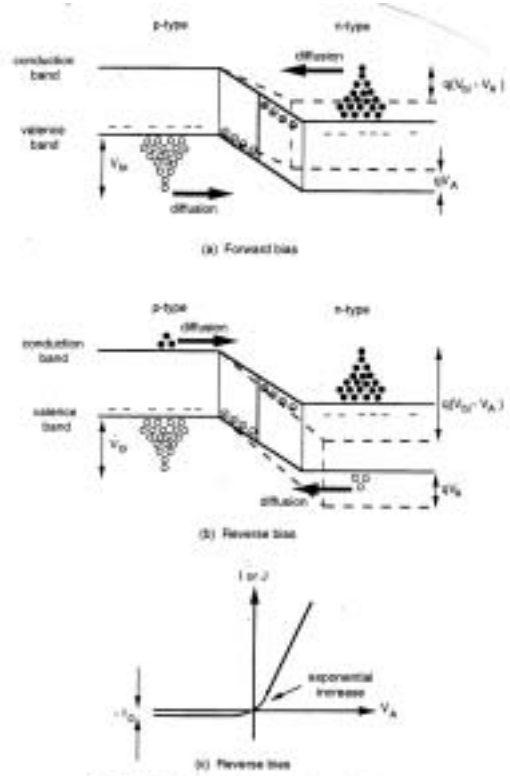


Fig. 3 Current flow mechanisms in pn-junctions

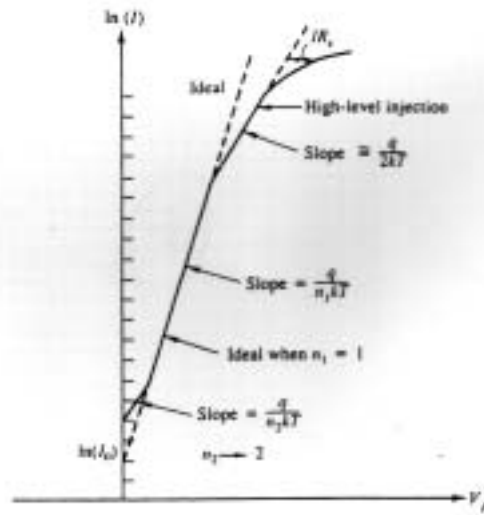


Fig. 4 順バイアスにおける電流・電圧特性 (文献 1 より転写)

Bipolar transistor

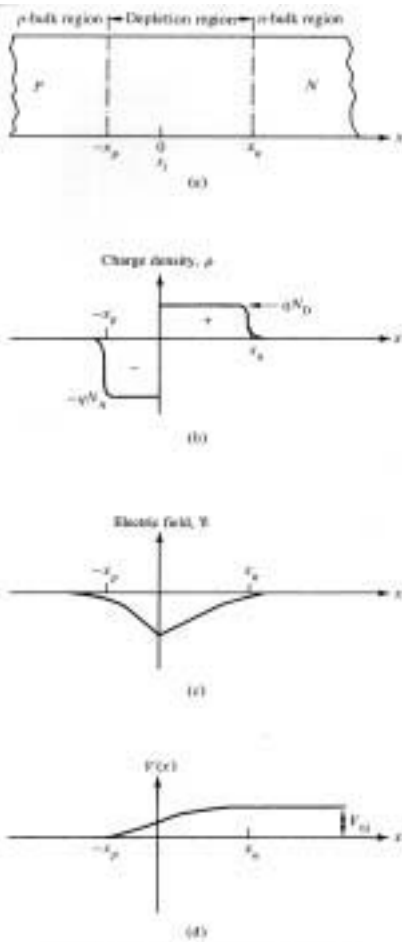


Fig. 2.3 Depletion region electrostatics.

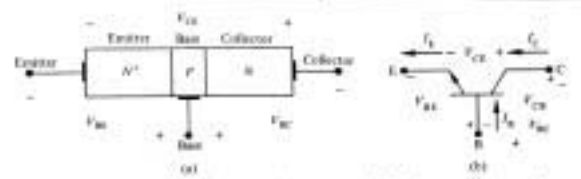


Fig. 1.2 Apn bipolar transistor: (a) semiconductor types, and (b) voltage and current reference polarities.

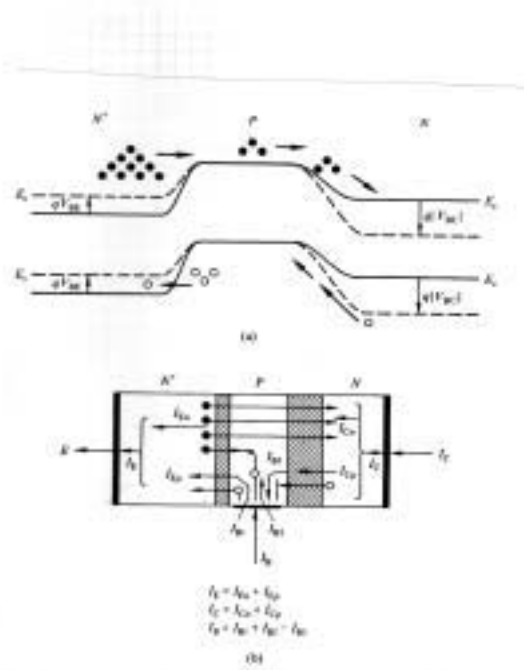


Fig. 1.7 n^+pn in the active region: (a) energy band diagram (— thermal equilibrium, - - - active region); (b) current components and carrier flux.

JFET

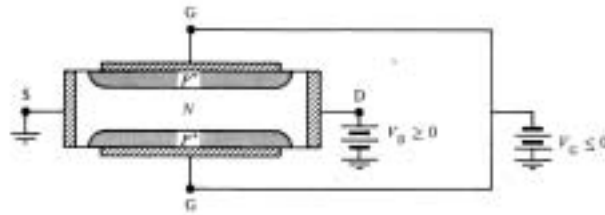


Fig. 1.4 Specification of the device structure and biasing conditions assumed in the qualitative analysis.

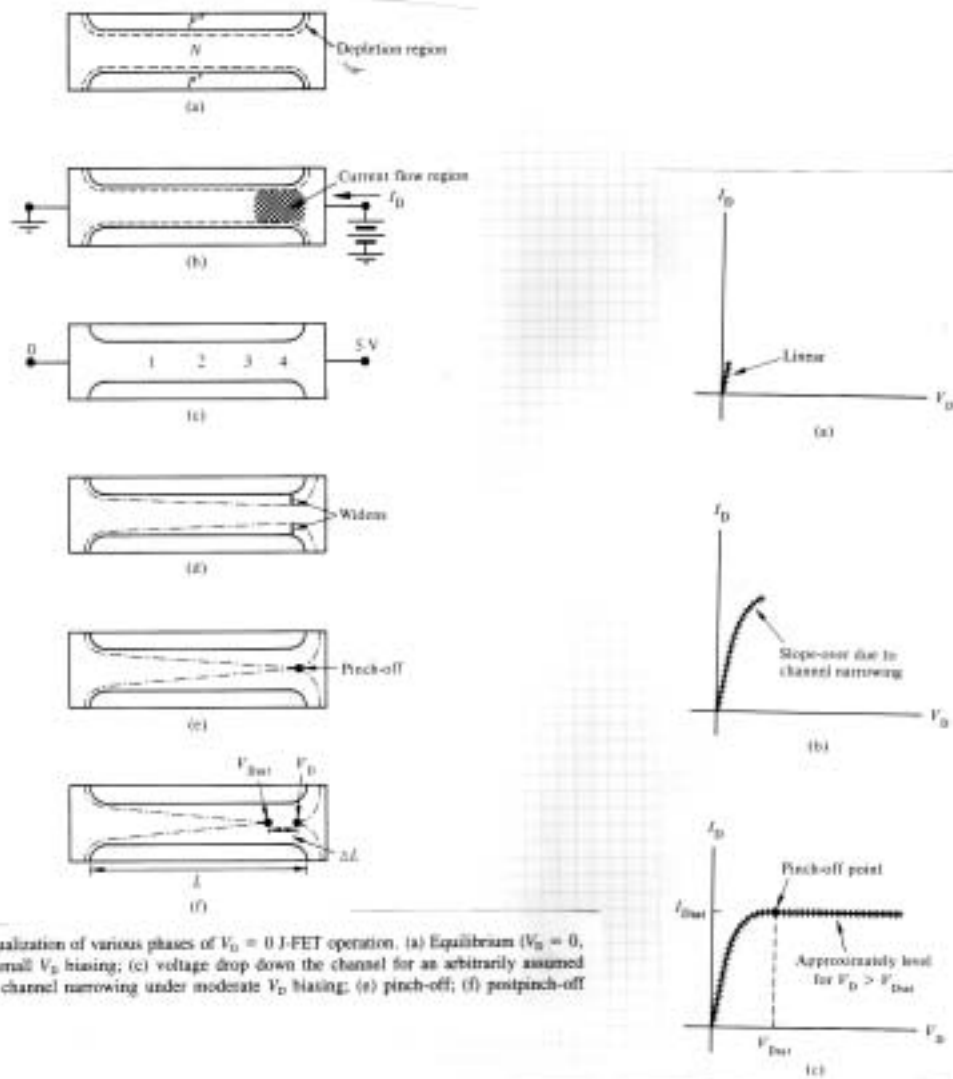


Fig. 1.5 Visualization of various phases of $V_G = 0$ J-FET operation, (a) Equilibrium ($V_D = 0$, $V_G = 0$); (b) small V_D biasing; (c) voltage drop down the channel for an arbitrarily assumed $V_D = 5V$; (d) channel narrowing under moderate V_D biasing; (e) pinch-off; (f) postpinch-off ($V_D > V_{Dsat}$).

Fig. 1.6 General form of the I_D - V_D characteristics. (a) Linear, simple resistor, variation for very small drain voltages. (b) Slope-over at moderate drain biases due to channel narrowing. (c) Pinch-off and saturation for drain voltages in excess of V_{Dsat} .

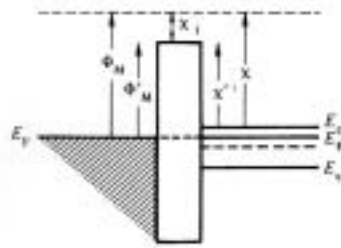


Fig. 2.3 Equilibrium energy band diagram for an ideal MOS structure.

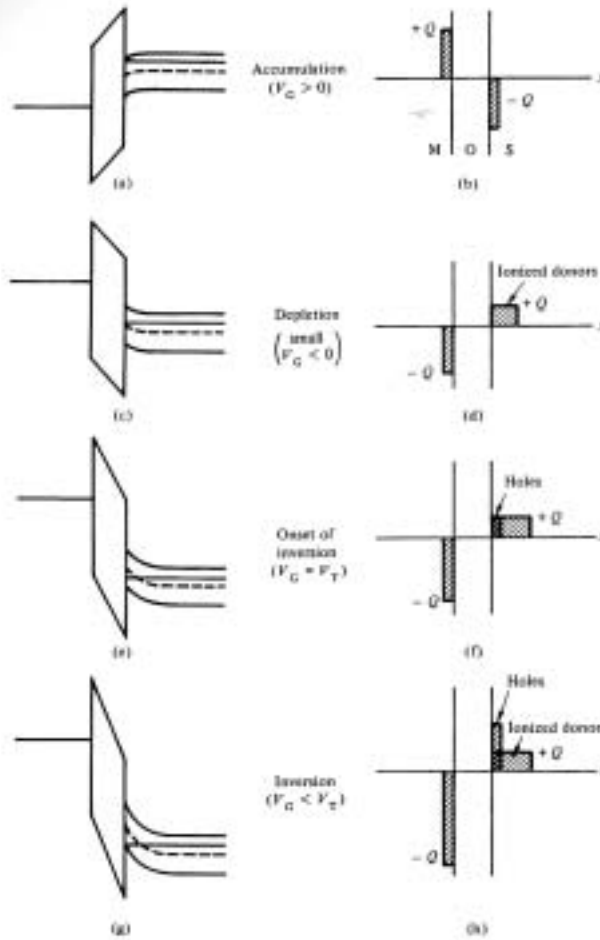


Fig. 2.5 Energy band diagrams and corresponding block charge diagrams describing the static state in an ideal n-type MOS-capacitor.

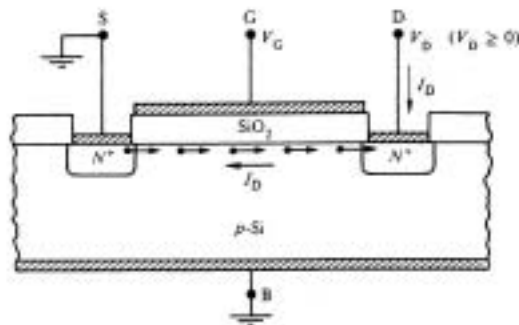


Fig. 3.1 Cross-sectional view of the basic p-bulk (n-channel) MOSFET structure showing the terminal designations, carrier and current flow directions, and standard biasing conditions.

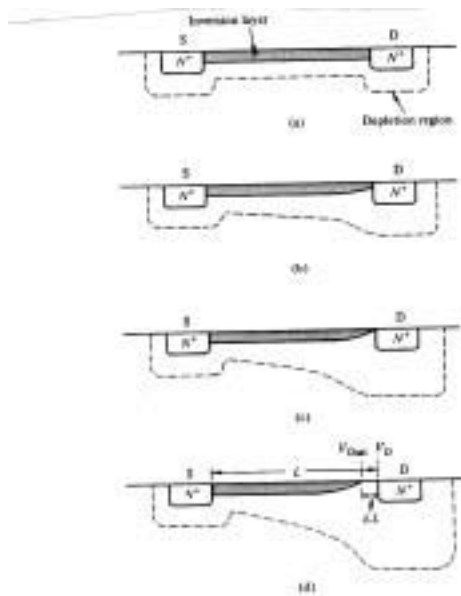


Fig. 3.2 Visualization of various phases of $V_G > V_T$ MOSFET operation. (a) $V_G = 0$; (b) channel (inversion layer) narrowing under moderate V_G biasing; (c) pinch-off; and (d) prepinch-off ($V_G > V_{Gmax}$) operation. (Note that the inversion layer widths, depletion widths, etc. are not drawn to scale.)

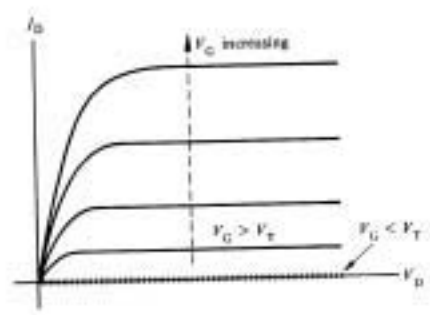
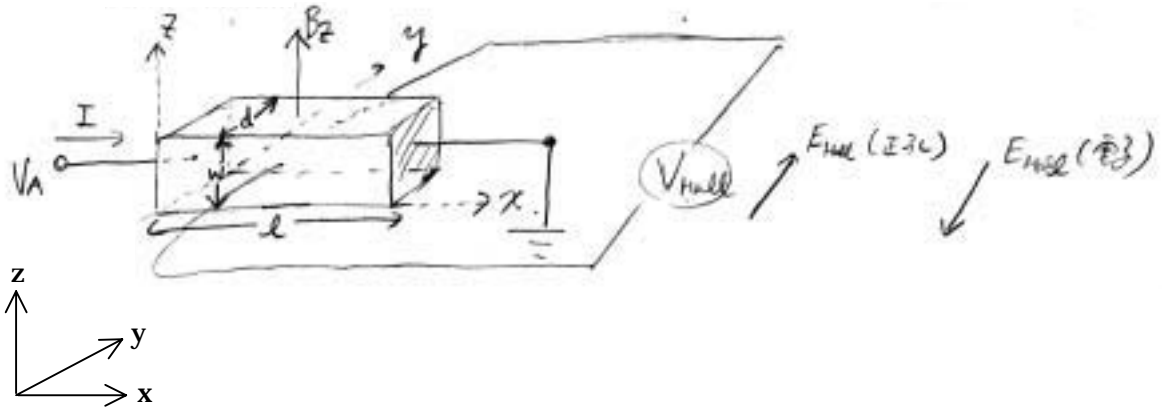


Fig. 3.4 General form of the $I_D - V_D$ characteristics expected from a long channel ($\Delta L \ll L$) MOSFET.

Si	Doping	Biasing condition	Energy band diagram	Block charge diagram
(a)	p	Depletion		
(b)	n	Accumulation		
(c)	n	Depletion/Transition		
(d)	p	Inversion		
(e)	n	Flat Band		

ホール効果



$$\vec{F} = -e\vec{v} \times \vec{B} = -e\mu\vec{E} \times \vec{B}$$

$$F_y = -e\mu E_x B_z$$

平衡状態では $-eE_{Hall} = -F_y = e\mu E_x B_z$

電子の場合 $E_{Hall} = -\mu_x E_x B_z$

ホール係数

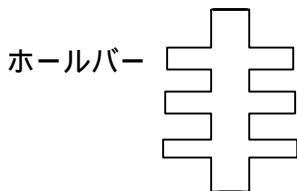
$$R_H = \frac{E_{Hall}}{J_x B_z} = \frac{V_{Hall} / d}{(I / wd) B} = \frac{V_H W}{BI}$$

$$= \frac{E_{Hall}}{\sigma_x E_x B_z} = \frac{-\mu_x B_z E_x}{\underbrace{\mu_x en E_x B_z}_{\sigma_x}} = -\frac{1}{en}$$

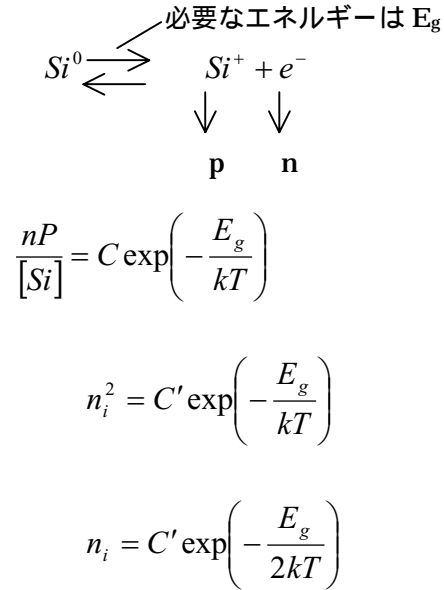
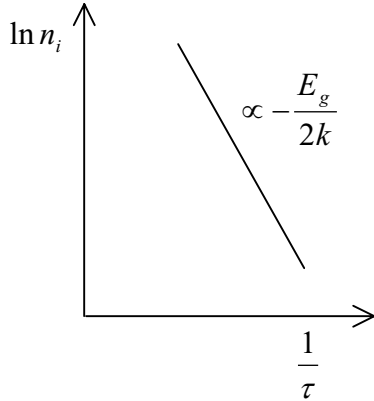
$$R_H = \frac{V_{Hall} W}{BI} \begin{cases} = -\frac{1}{en} \text{ (電子)} \\ = \frac{1}{en} \text{ (正孔、ホール)} \end{cases}$$

さらに $\sigma = \begin{cases} en\mu \\ ep\mu \end{cases}$

だから 抵抗測定から σ を求め
ホール効果から n
移動度 μ も計算できる。

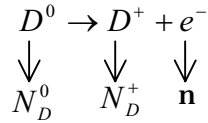


真性半導体のホール効果測定効果



では不純物半導体では？

ドナー濃度 $N_D \gg 0$ で考える。 アクセプタ濃度 $N_A = 0$



$$\frac{N_D^+ n}{N_D^0} = C_D \exp\left(-\frac{E_D}{kT}\right)$$

ここで $N_D^+ = n$ $N_D^0 = N_D - n$

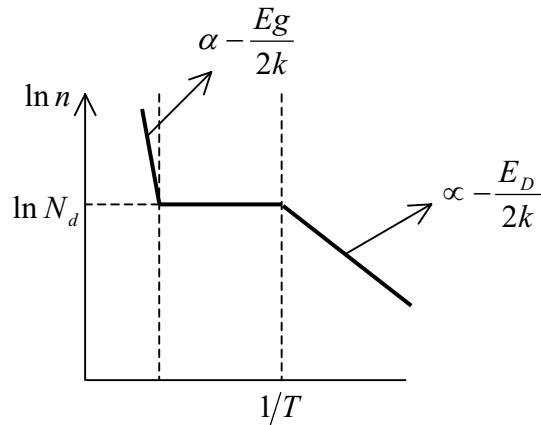
$$\frac{n^2}{N_D - n} = C_D \exp\left(-\frac{E_D}{kT}\right)$$

高温領域 $kT \gg E_g \gg E_D \rightarrow n_i \gg N_D$ $n \propto \exp\left(-\frac{E_g}{2kT}\right)$

中温領域 $E_g \gg kT \gg E_D \rightarrow N_D \approx N_D^+$ $n \approx N_D$

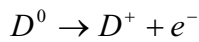
低温領域 $E_D > kT$ $N_D \gg n$ よって

$$\frac{n^2}{N_D - n} = C_D \exp\left(-\frac{E_D}{kT}\right) \Rightarrow n = C'_D \exp\left(-\frac{E_D}{2kT}\right)$$



補償のある半導体では？

N_D と N_A が共存している。ただし、 $N_D \gg N_A$ (n型) を仮定すると



は同じ

$$N_D^0 \quad N_D^+ \quad n$$

$$\frac{N_D^+ n}{N_D^0} = C_{DA} \exp\left(-\frac{E_D}{kT}\right)$$

ここで $\left[\begin{array}{l} N_D^+ = n + N_A \\ N_D^0 = N_D - N_D^+ = N_D - n - N_A \end{array} \right. \longrightarrow \left[\begin{array}{l} \text{すべてのアクセプタが-にイオン化 } N_A^- = N_A \\ \text{同じ量のドナーが+にイオン化 } N_D^+ = N_A \end{array} \right.$

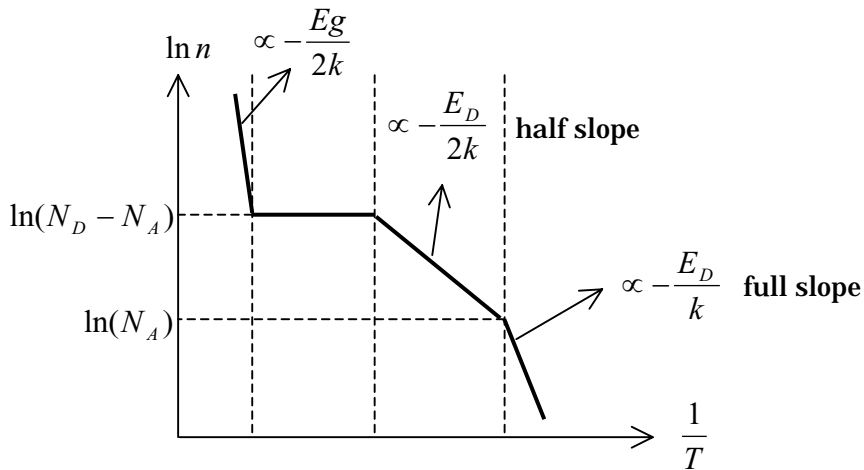
$$\frac{(n + N_A)n}{N_D - n - N_A} = C_{DA} \exp\left(-\frac{E_D}{kT}\right)$$

高温領域 $kT \gg E_g \gg E_D \rightarrow n_i \gg N_D \quad n \propto \exp\left(-\frac{E_g}{kT}\right)$

中温領域 $E_g \gg kT \gg E_D \rightarrow n = N_D - N_A \quad \text{一定}$

低温領域 $E_D \gg kT \quad N_D \gg n \gg N_A$
 $\frac{(n + N_A)n}{N_D - n - N_A} = \frac{n^2}{N_D} = C_{DA} \exp\left(-\frac{E_D}{kT}\right) \Rightarrow n = C'_{DA} \exp\left(-\frac{E_D}{2kT}\right)$

超低温領域 $E_D \gg kT \quad N_D \gg N_A \gg n$
 $\frac{(n + N_A)n}{N_D - n - N_A} = \frac{nN_A}{N_D} = C_{DA} \exp\left(-\frac{E_D}{kT}\right) \Rightarrow n = C''_{DA} \exp\left(-\frac{E_D}{kT}\right)$

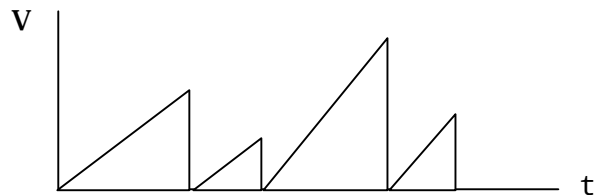


移動度の変化は？

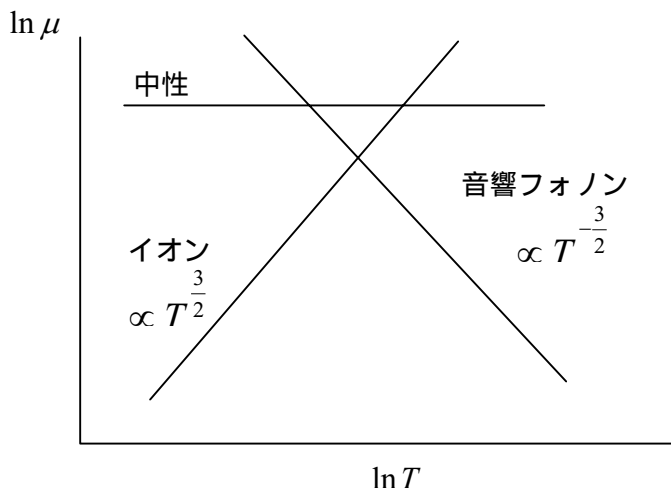
$$\mu = \frac{e\langle\tau\rangle}{m^*}$$

$\langle\tau\rangle$: 平均緩和時間

散乱の要因



- ・ 音響フォノン散乱 $\langle\tau\rangle \propto T^{-\frac{3}{2}}$
- ・ イオン化不純物散乱 $\langle\tau\rangle \propto T^{\frac{3}{2}}$
- ・ 中性不純物散乱 $\langle\tau\rangle$ は T に依存しない
- ・ 光学フォノン散乱・インターバレー散乱 $\langle\tau\rangle \propto T^{-2.3}$ 位



トータルな移動度 μ_{tot}

$$\frac{1}{\mu_{tot}} = \frac{1}{\mu_{音響フォノン}} + \frac{1}{\mu_{イオン}} + \frac{1}{\mu_{中性}}$$